

# ЗАКОНЫ ПОДОБИЯ ДЛЯ СКОРОСТИ, ТЕМПЕРАТУРЫ И КОМПОНЕНТ ТЕНЗОРА РЕЙНОЛЬДСА В ПРИСТЕНОЧНОЙ ОБЛАСТИ ТУРБУЛЕНТНОГО ПОГРАНИЧНОГО СЛОЯ НА ПРОНИЦАЕМОЙ ПОВЕРХНОСТИ

И. И. Вигдорович\*

Центральный институт авиационного моторостроения им. П. И. Баранова  
111116, Москва, Россия

Поступила в редакцию 1 июня 2004 г.

Общее конечное число определяющих параметров задачи указывает на наличие универсальной функциональной зависимости турбулентного касательного напряжения от градиента усредненной скорости, а турбулентного потока тепла — также и от градиента усредненной температуры в пристеночной области пограничного слоя. Вместе с соображениями размерности это обстоятельство позволяет свести уравнения переноса импульса и тепла к обычновенным дифференциальным уравнениям первого порядка для профилей скорости и температуры, которые легко могут быть исследованы в общем виде. В результате получены правила подобия для скорости и температуры, обобщающие на случай вдува и отсоса на стенке известные логарифмические распределения. Установлены также соотношения подобия для касательного напряжения и среднеквадратичной поперечной пульсации скорости. Предложенный подход имеет значительные преимущества по сравнению с классическим методом [1–3], не использующим динамических уравнений, и расширяет круг задач пристенной турбулентности, законы подобия для которых могут быть установлены без формулировки специальных гипотез замыкания.

PACS: 44.05.+e, 44.20.+b, 47.27.-i

## 1. ВВЕДЕНИЕ

Хорошо известен вывод логарифмического закона для профиля скорости в турбулентных пристенных течениях, предложенный в работах [1–3], который не использует ни специальных гипотез о механизме турбулентного обмена, ни даже динамических уравнений, а основан только на соображениях размерности и предположении, что молекулярная вязкость не существенна вне вязкого подслоя, а внешний масштаб не оказывает влияния на течение в пристеночной области. Позднее подобный подход использовали очень многие авторы. Так, Ландау в 1944 г. получил логарифмический закон для профиля температуры (см., например, [4]).

Классический метод [1–3], очевидно, имеет существенные ограничения на число определяющих па-

раметров задачи и в случае ненулевой поперечной скорости на стенке не дает каких-либо содержательных выводов.

В работе предлагается другой подход, который также основан на анализе размерностей, но при этом существенно использует уравнения движения. В результате получены законы подобия для скорости и температуры, которые обобщают известные логарифмические распределения на случай наличия вдува или отсоса на стенке. Установлены также законы подобия для касательного напряжения и среднеквадратичной поперечной пульсации скорости. Исследование проведено при тех же физических предположениях и на том же уровне строгости, которые обеспечивает классический анализ.

Закон подобия для профиля скорости впервые получен [5, 6] на основе формулы Прандтля для длины пути перемешивания. Остальные соотношения подобия являются новыми.

\*E-mail: ivigdorovich@ciam.ru

## 2. ПОСТАНОВКА ЗАДАЧИ

Рассмотрим течение несжимаемой теплопроводной жидкости в пристеночной области турбулентного пограничного слоя на гладкой проницаемой поверхности. Скорость вдува или отсоса будем считать направленной по нормали к стенке. В тонкой пристеночной области поперечные градиенты усредненных параметров много больше продольных, поэтому в первом приближении перенос импульса и тепла описывается известными уравнениями

$$\begin{aligned} -\langle u'v' \rangle + \nu \frac{du}{dy} &= \frac{\tau_w}{\rho} + v_w u, \\ -\langle \theta'v' \rangle + \chi \frac{d\theta}{dy} &= -j_w + v_w (\theta - \theta_w). \end{aligned} \quad (1)$$

Здесь  $u$  — продольная составляющая усредненной скорости,  $\theta$  — усредненная температура,  $y$  — расстояние от стенки,  $\nu$  и  $\chi$  — коэффициенты молекулярной вязкости и температуропроводности,  $v_w$ ,  $\theta_w$ ,  $\tau_w$  и  $j_w$  — значения на стенке поперечной скорости, температуры, касательного напряжения и потока температуры, соответственно.

Температура рассматривается как пассивная примесь, не оказывающая влияния на динамику течения, и в соответствующих обозначениях второе соотношение (1) является также уравнением переноса пассивной примеси.

Уравнения (1) описывают турбулентное течение вдоль бесконечной плоскости, в котором поперечная скорость и давление постоянны, а остальные параметры зависят только от расстояния до плоскости. Для такого течения

$$\begin{aligned} \frac{du}{dy} &= F_1 \left( y, \nu, v_w, \frac{\tau_w}{\rho} \right), \\ \frac{d\theta}{dy} &= F_2 \left( y, \nu, \chi, v_w, \frac{\tau_w}{\rho}, j_w \right), \\ \langle u'v' \rangle &= F_3 \left( y, \nu, v_w, \frac{\tau_w}{\rho} \right), \\ \langle \theta'v' \rangle &= F_4 \left( y, \nu, \chi, v_w, \frac{\tau_w}{\rho}, j_w \right), \end{aligned} \quad (2)$$

где  $F_1, \dots, F_4$  — некоторые универсальные функции. Мы, таким образом, предполагаем, что рассматриваемые величины в пристеночной области не зависят от внешних параметров пограничного слоя и полностью определены условиями на стенке и физическими константами жидкости.

Выразим теперь величины  $\tau_w/\rho$ ,  $j_w$  из первого и

второго уравнений (2) и подставим в третье и четвертое уравнения. В результате будем иметь

$$\begin{aligned} \langle u'v' \rangle &= G_1 \left( y, \nu, v_w, \frac{du}{dy} \right), \\ \langle \theta'v' \rangle &= G_2 \left( y, \nu, \chi, v_w, \frac{du}{dy}, \frac{d\theta}{dy} \right). \end{aligned} \quad (3)$$

Применяя к функциональным соотношениям (3) П-теорему и учитывая, что для температуры как пассивной примеси можно использовать специальную размерность, получим

$$\begin{aligned} \langle u'v' \rangle &= - \left( y \frac{du}{dy} \right)^2 S(\text{Re}, \beta), \\ \langle \theta'v' \rangle &= -y^2 \frac{d\theta}{dy} \frac{du}{dy} T(\text{Re}, \text{Pe}, \beta), \\ \text{Re} &= \frac{y^2}{\nu} \frac{du}{dy}, \quad \text{Pe} = \frac{y^2}{\chi} \frac{du}{dy}, \quad \beta = \frac{v_w}{\text{Re} y} \frac{dy}{du}. \end{aligned} \quad (4)$$

Здесь локальное число Рейнольдса  $\text{Re}$  есть отношение характерных значений турбулентной и молекулярной вязостей, а локальное число Пекле  $\text{Pe}$  — турбулентной и молекулярной теплопроводностей. Относительно функций  $S$  и  $T$  предположим, что они непрерывны при

$$0 \leq \text{Re} \leq \infty, \quad 0 \leq \text{Pe} \leq \infty, \quad -\infty \leq \beta \leq \infty,$$

имеют частные производные по всем аргументам внутри этой области и удовлетворяют условиям

$$S(\infty, 0) \neq 0, \quad T(\infty, \infty, 0) \neq 0.$$

Физически это соответствует обычному предположению, согласно которому вязкость существенна лишь в тонком слое вблизи стенки (вязком подслое).

Соотношения (4) представляют собой выражения касательного напряжения и потока температуры через градиент усредненной скорости. Поскольку влияние скорости вдува или отсоса на эти зависимости по мере удаления от стенки должно убывать, параметр  $\beta$  выбран так, что в знаменателе стоит локальное число Рейнольдса  $\text{Re}$ .

Компонента тензора Рейнольдса  $\langle v'^2 \rangle$ , связанная с поперечными пульсациями скорости, ведет себя аналогично касательному напряжению. Для нее примем

$$\langle v'^2 \rangle = \left( y \frac{du}{dy} \right)^2 S_2(\text{Re}, \beta), \quad (5)$$

где  $S_2$  удовлетворяет тем же условиям, что и функция  $S$  в соотношении (4).

Компоненты  $\langle u'^2 \rangle$ ,  $\langle w'^2 \rangle$ , связанные с пульсациями скорости в направлениях, параллельных стенке,

рассматриваться не будут. Их поведение вблизи обтекаемой поверхности имеет более сложный характер (см., например, [7–9]) и недостаточно полно изучено даже в случае отсутствия потока массы на теле.

В переменных стенки

$$y_+ = \frac{y}{\nu} \sqrt{\frac{\tau_w}{\rho}}, \quad u_+ = u \sqrt{\frac{\rho}{\tau_w}}, \quad v_+ = v_w \sqrt{\frac{\rho}{\tau_w}},$$

$$\theta_+ = \frac{\theta_w - \theta}{j_w} \sqrt{\frac{\tau_w}{\rho}}$$

уравнения (1) с учетом (4) принимают вид

$$\left( y_+ \frac{du_+}{dy_+} \right)^2 S(\text{Re}, \beta) + \frac{du_+}{dy_+} = 1 + v_+ u_+, \quad (6)$$

$$u_+(0) = 0,$$

$$y_+^2 \frac{d\theta_+}{dy_+} \frac{du_+}{dy_+} T(\text{Re}, \text{Pr Re}, \beta) + \quad (7)$$

$$+ \frac{1}{\text{Pr}} \frac{d\theta_+}{dy_+} = 1 + v_+ \theta_+, \quad \theta_+(0) = 0,$$

$$\text{Re} = y_+^2 \frac{du_+}{dy_+}, \quad \beta = \frac{v_+}{\text{Re} y_+} \frac{dy_+}{du_+}.$$

Здесь  $\text{Pr} = \nu/\chi$  — молекулярное число Прандтля.

Задача, таким образом, сведена к исследованию обыкновенного дифференциального уравнения для профиля скорости (6). Распределение температуры на основании (7) задается интегралом

$$\ln(1 + v_+ \theta_+) = \int_0^{y_+} \frac{\text{Pr} v_+ dy_+}{1 + \text{Pr} \text{Re} T(\text{Re}, \text{Pr Re}, \beta)}. \quad (8)$$

В соответствии с (4) турбулентное число Прандтля есть

$$\text{Pr}_t(\text{Re}, \text{Pe}, \beta) = \frac{S(\text{Re}, \beta)}{T(\text{Re}, \text{Pe}, \beta)}. \quad (9)$$

Если  $\text{Pr}_t \equiv 1$  и  $\text{Pr} = 1$ , уравнение (7) имеет решение

$$\theta_+ \equiv u_+.$$

### 3. НЕПРОНИЦАЕМАЯ СТЕНКА

В частном случае непроницаемой стенки ( $v_+ = 0$ ) уравнение (6) имеет решение в замкнутом виде

$$u_+ = \int_0^R \frac{d \text{Re}}{\sqrt{\text{Re}^2 S(\text{Re}, 0) + \text{Re}}} - \frac{\sqrt{\text{Re}}}{\sqrt{\text{Re} S(\text{Re}, 0) + 1}},$$

$$y_+ = \sqrt{\text{Re}^2 S(\text{Re}, 0) + \text{Re}}, \quad 0 \leq \text{Re} < \infty, \quad (10)$$

а интеграл (8) есть

$$\theta_+ = \int_0^R \frac{\text{Pr} d \sqrt{\text{Re}^2 S(\text{Re}, 0) + \text{Re}}}{1 + \text{Pr} \text{Re} T(\text{Re}, \text{Pr Re}, 0)}. \quad (11)$$

Из (10), (11) и условий, поставленных на функции  $S$  и  $T$ , следует, что скорость и температура имеют логарифмическую асимптотику во внешней части пристеночной области:

$$u_+ = \frac{1}{\varkappa} (\ln y_+ + C_0) + O(y_+^{-\alpha}), \quad (12)$$

$$\theta_+ = \frac{\text{Pr}_t^0}{\varkappa} [\ln y_+ + B(\text{Pr})] + O(y_+^{-\alpha}), \quad (13)$$

$$y_+ \rightarrow \infty, \quad \alpha > 0,$$

$$\varkappa = \sqrt{S(\infty, 0)}, \quad \text{Pr}_t^0 = \text{Pr}_t(\infty, \infty, 0).$$

В соответствии с экспериментальными данными примем следующие значения постоянных в асимптотическом представлении (12):

$$\varkappa = 0.41, \quad C_0 = 2.05.$$

Для турбулентного числа Прандтля в логарифмической области  $\text{Pr}_t^0$  чаще всего рекомендуются значения 0.85–0.95 [10]. В дальнейшем в соответствии с данными [11] будем считать  $\text{Pr}_t^0 = 0.89$ .

Асимптотика входящей в (13) функции  $B(\text{Pr})$  при малых и больших значениях молекулярного числа Прандтля может быть получена из интегрального представления

$$B(\text{Pr}) = \frac{\varkappa \text{Pr}}{\text{Pr}_t^0} \int_0^1 \frac{d \sqrt{\text{Re}^2 S(\text{Re}, 0) + \text{Re}}}{1 + \text{Pr} \text{Re} T(\text{Re}, \text{Pr Re}, 0)} -$$

$$- \int_1^\infty \frac{d \text{Re}}{\text{Re}(1 + \text{Pr} \text{Re} T(\text{Re}, \text{Pr Re}, 0))} + \frac{\text{Pr}}{\text{Pr}_t^0} \times$$

$$\times \int_1^\infty \frac{\varkappa d \sqrt{\text{Re}^2 S(\text{Re}, 0) + \text{Re}} - \text{Pr}_t^0 T(\text{Re}, \text{Pr Re}, 0) d \text{Re}}{1 + \text{Pr} \text{Re} T(\text{Re}, \text{Pr Re}, 0)} -$$

$$- \ln \varkappa, \quad (14)$$

которое следует из (11), (13) и (10). При малых числах Прандтля эта асимптотика главным образом определяется вторым интегралом (14) и поведением подынтегральной функции при больших значениях локального числа Рейнольдса. В этом случае

$$B(\text{Pr}) = \ln \text{Pr} + b_1 + \dots, \quad \text{Pr} \rightarrow 0,$$

$$b_1 = \int_0^1 \frac{T(\infty, \infty, 0) d\text{Pe}}{1 + \text{Pe}T(\infty, \text{Pe}, 0)} - \\ - \int_1^\infty \frac{[1 + \text{Pe}(T(\infty, \text{Pe}, 0) - T(\infty, \infty, 0))] d\text{Pe}}{\text{Pe}[1 + \text{Pe}T(\infty, \text{Pe}, 0)]} - \\ - \ln \varkappa. \quad (15)$$

Если предположить, следуя [10], что коэффициент турбулентной температуропроводности не зависит от  $\chi$  (функция  $T$  не зависит от числа Пекле), вычисление интегралов (15) дает

$$b_1 = \ln(\varkappa / \text{Pr}_t^0),$$

что на единицу меньше величины, предложенной в работе [10].

При больших числах Прандтля основной вклад в асимптотику функции  $B(\text{Pr})$  дает первый интеграл (14) и существенным является поведение подынтегральной функции вблизи нижнего предела интегрирования. В соответствии с известной оценкой

$$\langle \theta' v' \rangle = O(y^3), \quad y \rightarrow 0,$$

примем

$$T(\text{Re}, \text{Pr} \text{Re}, 0) = k(\text{Pr}) \sqrt{\text{Re}} + \dots, \quad \text{Re} \rightarrow 0,$$

где  $k(\text{Pr})$  — некоторая функция. Тогда главный член асимптотики для  $B(\text{Pr})$  имеет вид

$$B(\text{Pr}) = b_2 \text{Pr}^{2/3} + \dots, \quad \text{Pr} \rightarrow \infty,$$

$$b_2 = \frac{\varkappa}{\text{Pr}_t^0} \int_0^\infty \frac{dx}{1 + k(\infty)x^3} = \frac{2\pi\sqrt{3}\varkappa}{9\text{Pr}_t^0 \sqrt[3]{k(\infty)}}.$$

В работе [10] для коэффициента  $b_2$  предложена приближенная формула, дающая весьма близкие значения.

Подставляя асимптотику (12) в выражение (5), получим, что среднеквадратичная поперечная пульсация скорости во внешней подобласти постоянна:

$$\sqrt{\langle v'^2 \rangle_+} = \frac{1}{\sigma_2} + O(y_+^{-\alpha}), \quad \sigma_2 = \frac{\varkappa}{\sqrt{S_2(\infty, 0)}}, \quad (16)$$

$y_+ \rightarrow \infty.$

Величина конечного предела  $1/\sigma_2$  есть универсальная константа. Большинство экспериментов дает для  $\sigma_2$  значения близкие, но несколько меньшие единицы [10]. В дальнейшем, согласно [12], будем считать  $\sigma_2 = 0.95$ .

#### 4. ВДУВ И ОТСОС

В общем случае ненулевой поперечной скорости на стенке, переходя в (6) к новым переменным  $Y$  и  $w$ ,

$$Y = \frac{yv_w}{\nu} = v_+ y_+, \quad w = \frac{2}{v_+} \sqrt{1 + v_+ u_+}, \quad (17)$$

получим уравнение

$$\left( Y \frac{dw}{dY} \right)^2 S(\text{Re}, \beta) + \frac{2}{w} \frac{dw}{dY} = 1, \quad w(0) = \frac{2}{v_+}, \quad (18)$$

$$\text{Re} = \frac{Y^2 w}{2} \frac{dw}{dY}, \quad \beta = \frac{2}{\text{Re} Y w} \frac{dY}{dw}.$$

Замена переменных (17) выбрана так, чтобы уравнение (18) не зависело от параметра  $v_+$ .

Интегральные кривые уравнения (18) расположены симметрично относительно оси абсцисс, поэтому достаточно рассмотреть их поведение в верхней полуплоскости. Качественная картина интегральных кривых показана на рис. 1 (построены решения уравнения (18) при  $S = \varkappa^2$ ). Отрицательные значения  $Y$  соответствуют отсосу, положительные — вдуву. Вдоль каждой кривой  $w$  растет от 0 до  $+\infty$ .

В случае отсоса  $v_+$  всегда есть малая величина, поскольку на внешней границе пристеночной области скорость  $u_+$  достигает достаточно больших значений, а правая часть (6) остается положительной.

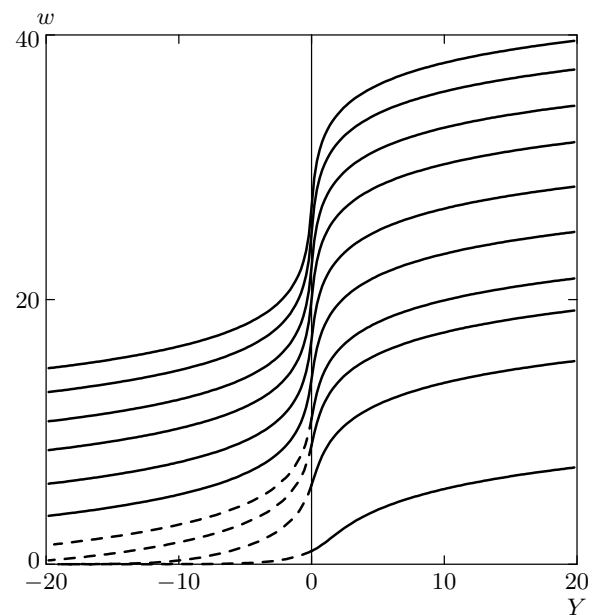


Рис. 1. Качественная картина интегральных кривых уравнения (18) в верхней полуплоскости

Следовательно, в соответствии с начальным условием (18) физический смысл имеют только интегральные кривые, пересекающие ось ординат при достаточно больших значениях  $w$  (отрезки интегральных кривых, не имеющие физического смысла, показаны на рис. 1 штриховыми линиями). В общем случае профиль скорости в пристеночной области пограничного слоя с отсосом описывают отрезки интегральных кривых, соответствующие большим значениям переменной  $w$ .

В первом квадранте все интегральные кривые имеют физический смысл. Малым значениям  $w(0)$  соответствует сильный вдув, т. е. большая величина параметра  $v_+$ .

#### 4.1. Законы подобия

Из уравнения (18) будем иметь

$$\frac{dw}{d \ln Y} = \frac{1}{\sqrt{S(\text{Re}, \beta) + 1/\text{Re}}}. \quad (19)$$

Во внешней части пристеночной области локальное число Рейнольдса велико. Величинами порядка  $1/\text{Re}$  в уравнении (19) можно пренебречь, и мы получим

$$w = \frac{1}{\kappa} \ln Y + C_1(v_+) + O(Y^{-\alpha}), \quad \alpha > 0, \quad (20)$$

где  $C_1(v_+)$  — некоторая функция. Для случая вдува (20) есть асимптотика решения уравнения (6) при  $Y \rightarrow \infty$ , для случая отсоса — промежуточная асимптотика, соответствующая внешней части пристеночной области. Возвращаясь в (20) к исходным переменным, получим асимптотическое представление профиля скорости

$$\begin{aligned} \frac{2}{v_+} \left( \sqrt{1 + v_+ u_+} - 1 \right) &= \\ &= \frac{1}{\kappa} [\ln y_+ + C(v_+)] + O(y_+^{-\alpha}), \end{aligned} \quad (21)$$

$y_+ \rightarrow \infty, \quad \alpha > 0.$

Здесь  $C(v_+)$  — некоторая универсальная функция. Соотношение (21) является обобщением логарифмического закона на случай вдува и отсоса для профиля скорости и при  $v_+ = 0$  должно совпадать с (12); отсюда

$$C(0) = C_0.$$

В силу уравнения (6) соотношение (21) задает

также распределение касательного напряжения во внешней части пристеночной области:

$$\begin{aligned} \frac{2}{v_+} \left( \sqrt{-\langle u' v' \rangle_+} - 1 \right) &= \\ &= \frac{1}{\kappa} [\ln y_+ + C(v_+)] + O(y_+^{-\alpha}), \end{aligned} \quad (22)$$

$y_+ \rightarrow \infty.$

Аналогичное представление можно получить для среднеквадратичной поперечной пульсации скорости, подставив асимптотику (21) в выражение (5):

$$\begin{aligned} \frac{2}{v_+} \left( \sigma_2 \sqrt{\langle v'^2 \rangle_+} - 1 \right) &= \\ &= \frac{1}{\kappa} [\ln y_+ + C(v_+)] + O(y_+^{-\alpha}), \quad y_+ \rightarrow \infty. \end{aligned} \quad (23)$$

Здесь постоянная  $\sigma_2$  имеет вид (16) и определяется по данным для непроницаемой стенки.

Принимая во внимание (17) и (19), представим интеграл (8) в виде

$$\ln(1 + v_+ \theta_+) = \int_{2/v_+}^w \frac{2 \Pr [1 + \text{Re } S(\text{Re}, \beta)] dw}{w [1 + \Pr \text{Re } T(\text{Re}, \Pr \text{Re}, \beta)]}.$$

Тогда

$$\begin{aligned} \frac{\ln(1 + v_+ \theta_+)}{2 \Pr_t^0} &= \ln |w| + \ln \left| \frac{v_+}{2} \right| + \\ &+ \int_{2/v_+}^w \left( \frac{\Pr [1 + \text{Re } S(\text{Re}, \beta)]}{\Pr_t^0 [1 + \Pr \text{Re } T(\text{Re}, \Pr \text{Re}, \beta)]} - 1 \right) \times \\ &\times \frac{dw}{w}. \end{aligned} \quad (24)$$

Интеграл в правой части соотношения (24) ограничен во внешней подобласти. Возвращаясь в (24) к старым переменным, с учетом (21) получим

$$\begin{aligned} \frac{2}{v_+} \left[ (1 + v_+ \theta_+)^{1/2 \Pr_t^0} - 1 \right] &+ \\ &+ \frac{1}{\kappa} D(v_+, \Pr) (1 + v_+ \theta_+)^{1/2 \Pr_t^0} = \\ &= \frac{1}{\kappa} [\ln y_+ + C(v_+)] + O(y_+^{-\alpha}), \quad y_+ \rightarrow \infty, \end{aligned} \quad (25)$$

где  $D(v_+, \Pr)$  — некоторая функция. При  $v_+ = 0$  соотношение (25) должно совпадать с (13), поэтому

$$D(0, \Pr) = C_0 - B(\Pr).$$

Когда турбулентное и молекулярные числа Прандтля равны единице, функция  $D(v_+, 1) \equiv 0$ .

Асимптотические представления (21)–(23), (25) выражают правила подобия для распределения продольной скорости, касательного напряжения, среднеквадратичной поперечной пульсации скорости и температуры в промежуточной области пограничного слоя, расположенной вблизи стенки вне вязкого подслоя. В случае непроницаемой стенки эта область носит название логарифмического подслоя.

Представление (21) впервые было установлено [5, 6] на основе формулы Прандтля для длины пути перемешивания. Правила подобия (22), (23), (25) являются новыми.

#### 4.2. Малые значения параметра $v_+$

В случае малых значений  $v_+$ , который, в частности, всегда имеет место при произвольном отсосе, распределения скорости, касательного напряжения и температуры можно представить в виде

$$\begin{aligned} \frac{2u_+}{1 + \sqrt{1 + v_+ u_+}} &= u_+^0(y_+) + O(v_+), \\ \frac{2}{v_+} \left( \sqrt{-\langle u' v' \rangle_+} + \frac{du_+}{dy_+} - 1 \right) &= \\ = u_+^0(y_+) + O(v_+), & \\ \left[ \frac{2\text{Pr}_t^0}{v_+} + \frac{\text{Pr}_t^0}{\kappa} [C_0 - B(\text{Pr})] \right] \times & \\ \times \left[ (1 + v_+ \theta_+)^{1/2} \text{Pr}_t^0 - 1 \right] &= \\ = \theta_+^0(y_+) + O(v_+), & y_+ \geq 0. \end{aligned} \quad (26)$$

Здесь  $u_+^0(y_+)$ ,  $\theta_+^0(y_+)$  — профили скорости и температуры для случая непроницаемой стенки. Подставляя первое соотношение (26) в (5), получим

$$\sqrt{\langle v'^2 \rangle_+} = \sqrt{\langle v'^2 \rangle_+^0 + \frac{v_+}{2\sigma_2} u_+^0(y_+)}, \quad y_+ \geq 0.$$

Первый член в правой части этого разложения — среднеквадратичная пульсация скорости в пограничном слое на непроницаемой поверхности.

Таким образом, в случаях произвольного отсоса и слабого вдува, когда параметр  $v_+$  мал, профили рассматриваемых величин во всей пристеночной области можно представить с помощью данных, известных для непроницаемой стенки.

#### 5. СОПОСТАВЛЕНИЕ С ЭКСПЕРИМЕНТАЛЬНЫМИ И РАСЧЕТНЫМИ ДАННЫМИ

На рис. 2 в переменных подобия даны профили скорости, полученные при прямом численном моделировании напорного течения в плоском канале

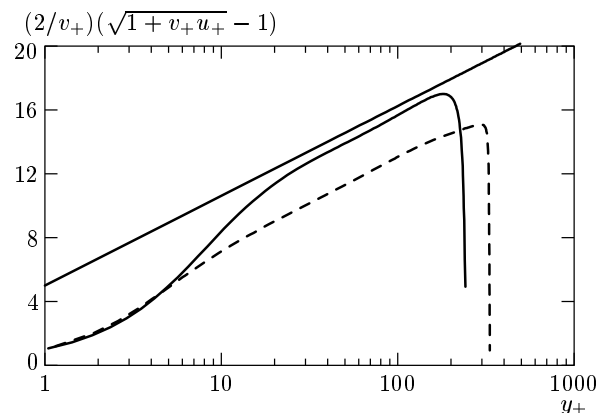
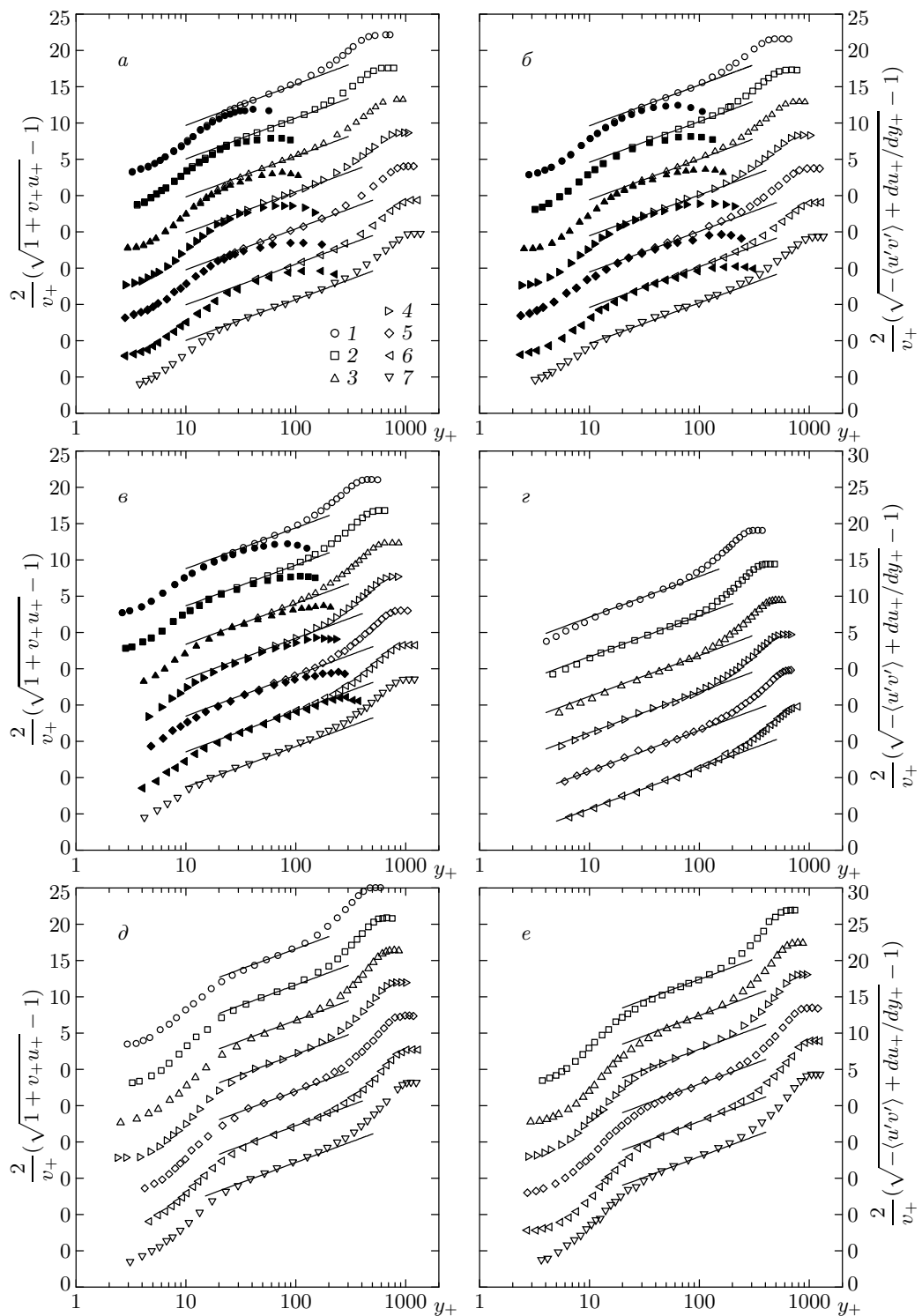


Рис. 2. Профили скорости для течения Пуазеля с поперечным потоком массы в переменных подобия. Сплошная и штриховая кривые — данные [13, 14]. Прямая линия соответствует уравнению  $2.44 \ln y_+ + 5.0$

с постоянным поперечным потоком массы [13, 14]. Сплошная кривая на рис. 2 получена при  $v_+ = 0.061$  и числе Рейнольдса, вычисленном по средней скорости и ширине канала  $\text{Re}_m = 4357$ ; штриховая кривая — при  $v_+ = 0.241$ ,  $\text{Re}_m = 8000$ . Несмотря на небольшие числа Рейнольдса, при которых проводился расчет, эти распределения хорошо соответствуют правилу подобия (21), они имеют достаточно протяженный почти прямолинейный участок с наклоном, близким величине  $1/\kappa$  ( $\kappa = 0.41$ ).

На рис. 3 в переменных подобия представлены экспериментальные данные [15] (см. также [16]) по распределению скорости и касательного напряжения в турбулентном пограничном слое с равномерным вдувом и отсосом. Экспериментальные точки на рис. 3а–г отвечают вдуву при нулевом градиенте давления и различных значениях параметра  $F = v_w/U_e$ , где  $U_e$  — скорость невозмущенного набегающего потока, на рис. 3д, е — отсосу при умеренном неблагоприятном градиенте давления. Прямые на рис. 3 имеют наклон  $1/\kappa$  и соответствуют правой части соотношения (21), в котором функция  $C(v_+)$  выбрана из условия наилучшей аппроксимации экспериментальных данных; ее значения построены на рис. 4. Согласно [15], для непроницаемой пластины экспериментальные данные хорошо соответствуют логарифмическому закону (12) при выбранном значении постоянных  $\kappa = 0.41$ ,  $C_0 = 2.05$ . На рис. 3а–г видно, что протяженность логарифмического участка для профилей скорости, т. е. интервал значений переменной  $y_+$ , в котором выполняется закон подобия (21), увеличивается с ростом числа Рейнольд-



**Рис. 3.** Профили скорости и касательного напряжения в пограничном слое на пластине со вдувом и отсосом при различных числах Рейнольдса в переменных подобия по данным [15]:  $F = 0.001$  (*а*),  $0.002$  (*б*),  $0.00375$  (*в*),  $0.008$  (*г*),  $-0.001$  (*д*),  $-0.002$  (*е*); точки 1–7 соответствуют  $R_x = 3.5 \cdot 10^5, 5.4 \cdot 10^5, 7.3 \cdot 10^5, 9.2 \cdot 10^5, 1.1 \cdot 10^6, 1.3 \cdot 10^6, 1.4 \cdot 10^6$ .

Светлые символы — скорость, темные — касательное напряжение

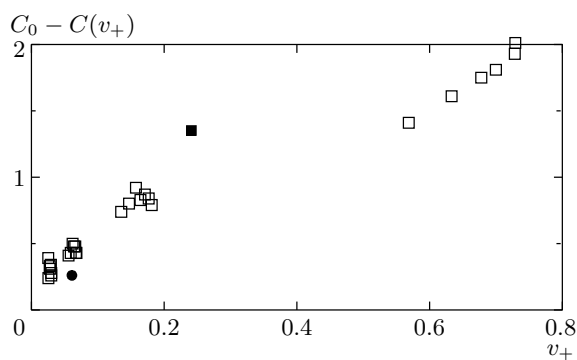


Рис. 4. Функция  $C(v_+)$  по результатам обработки экспериментальных [15] (□) и расчетных [13, 14] работ (соответственно, ■ и ●)

са, а также по мере увеличения параметра  $v_+$ . При увеличении скорости вдува  $v_+$  начало логарифмической области сдвигается ближе к стенке. Это хорошо видно на рис. 3г, который соответствует наибольшей в серии экспериментов [15] скорости вдува.

Как видно на рис. 3д, е, при отсосе для достаточно больших чисел Рейнольдса профили скорости в переменных подобия также имеют выраженный логарифмический участок.

В выбранных переменных профили скорости и касательного напряжения практически совпадают в вязком подслое и достаточно близки во внешней части пристеночной области, что является хорошим экспериментальным подтверждением справедливости первого уравнения (1). Из рис. 3б, в видно, что при наличии потока массы на стенке квадратный корень из касательного напряжения действительно имеет в пристеночной области логарифмическую асимптотику.

К сожалению, в настоящее время нет достаточно точных измерений пульсационных характеристик скорости в пристеночной области при наличии вдува или отсоса для проверки соотношения (23). На рис. 5 в переменных (23) дан профиль среднеквадратичной поперечной пульсации скорости, полученный [17, 18] путем прямого численного моделирования асимптотического турбулентного пограничного слоя с отсосом при  $v_+ = -0.0601$  и числе Рейнольдса, вычисленном по толщине вытеснения,  $Re_{\delta^*} = 1000$ . Как видно на рис. 5, несмотря на небольшое число Рейнольдса, при котором проводился расчет, профиль исследуемой величины имеет выраженный логарифмический участок, наклон которого, однажды, приблизительно на 15 % превышает величину  $1/\zeta$ .

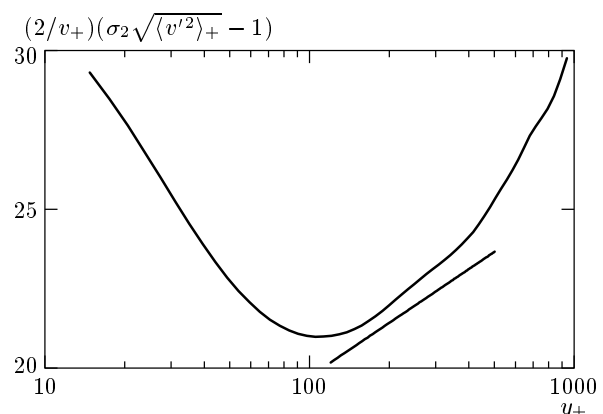


Рис. 5. Среднеквадратичная поперечная пульсация скорости в переменных подобия для пристеночной области по данным прямого численного моделирования [17]. Отрезок прямой имеет наклон  $1/\zeta$

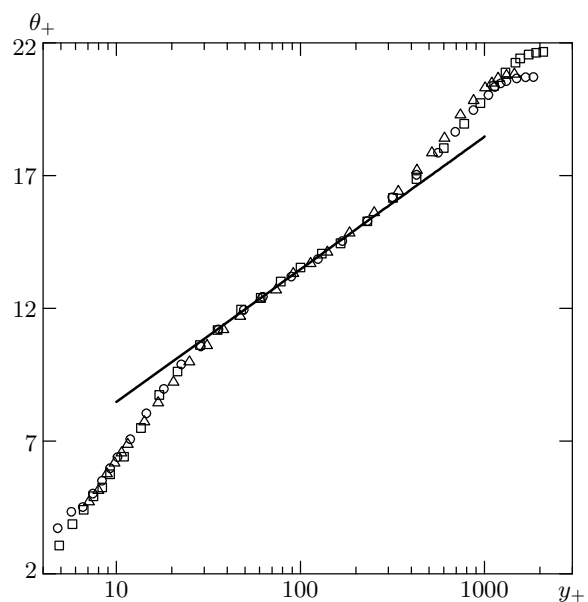
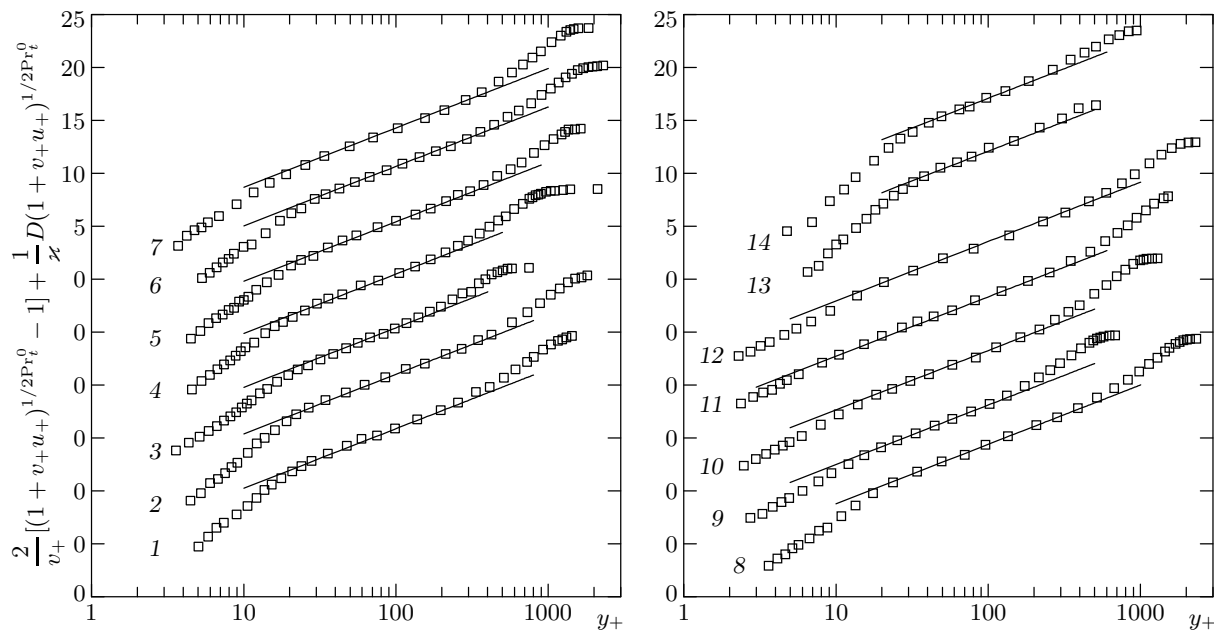


Рис. 6. Профили температуры в турбулентном пограничном слое на непроницаемой пластине по данным [11]:  $R_x = 1.30 \cdot 10^6$  (○),  $1.44 \cdot 10^6$  (□),  $1.99 \cdot 10^6$  (△). Прямая линия соответствует уравнению  $2.17(\ln y_+ + 1.6)$

Для проверки соотношения (25) использованы экспериментальные данные [11]. В работе [11] измерялись профили температуры и числа Стантона, но не измерялось трение на стенке. Мы вычислили коэффициент трения вычислялся по значениям числа Рейнольдса, образованного по толщине потери импульса, с помощью универсального закона трения [19, 20].



**Рис. 7.** Профили температуры в пограничном слое на пластине со вдувом и отсосом при различных числах Рейнольдса в переменных подобия по данным [11]: 1 —  $F = 9.6 \cdot 10^{-4}$ ,  $R_x = 1.5 \cdot 10^6$ ; 2 —  $9.0 \cdot 10^{-4}$ ,  $2.0 \cdot 10^6$ ; 3 —  $2.4 \cdot 10^{-3}$ ,  $3.9 \cdot 10^5$ ; 4 —  $2.0 \cdot 10^{-3}$ ,  $9.3 \cdot 10^5$ ; 5 —  $1.9 \cdot 10^{-3}$ ,  $1.5 \cdot 10^6$ ; 6 —  $1.8 \cdot 10^{-3}$ ,  $2.0 \cdot 10^6$ ; 7 —  $3.8 \cdot 10^{-3}$ ,  $1.5 \cdot 10^6$ , 8 —  $3.5 \cdot 10^{-3}$ ,  $2.0 \cdot 10^6$ ; 9 —  $6.0 \cdot 10^{-3}$ ,  $4.0 \cdot 10^5$ ; 10 —  $5.1 \cdot 10^{-3}$ ,  $9.2 \cdot 10^5$ ; 11 —  $4.7 \cdot 10^{-3}$ ,  $1.5 \cdot 10^6$ ; 12 —  $4.4 \cdot 10^{-3}$ ,  $2.0 \cdot 10^6$ ; 13 —  $-1.3 \cdot 10^{-3}$ ,  $4.1 \cdot 10^5$ ; 14 —  $-1.1 \cdot 10^{-3}$ ,  $9.6 \cdot 10^5$

На рис. 6 построены профили температуры в пограничном слое на непроницаемой пластине. Экспериментальные данные на рис. 6 хорошо описываются формулой (13) при  $\text{Pr}_t^0 = 0.89$  и  $B = 1.6$ .

Для случая вдува и отсоса профили температуры в переменных подобия (25) построены на рис. 7. Здесь прямые линии имеют наклон  $1/\kappa$  и соответствуют правой части соотношения (25), в котором функция  $C(v_+)$  определена по экспериментальным данным, построенным на рис. 4. Функция  $D(v_+, \text{Pr})$  определена таким образом, чтобы экспериментальные точки следовали прямым линиям при  $\text{Pr}_t^0 = 0.89$ . Эта функция построена на рис. 8.

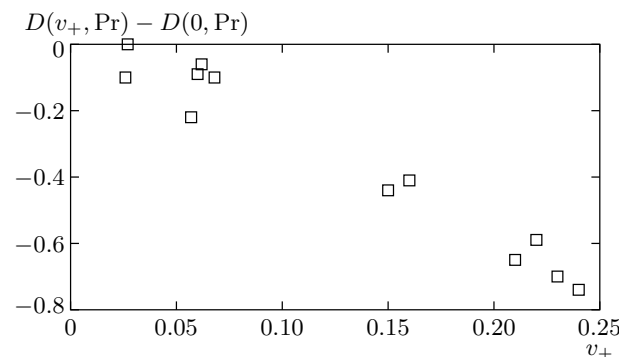
В соответствии с законом подобия (25) экспериментальные профили на рис. 7 имеют выраженные логарифмические участки, а функция на рис. 8, построенная в результате обработки экспериментальных данных, ведет себя достаточно монотонно.

В соответствии с (9) турбулентное число Прандтля в логарифмической области не зависит от пооперечной скорости на стенке, что подтверждается экспериментальными наблюдениями [21].

## 6. ПРОФИЛИ СКОРОСТИ И ТЕМПЕРАТУРЫ ПРИ СИЛЬНОМ ВДУВЕ

Исследуем теперь асимптотическую структуру профилей скорости и температуры при больших значениях параметра  $v_+$ , применяя к уравнению (18) метод сращиваемых асимптотических разложений [22]. В этом случае в пристеночной области образуются четыре характерных подобласти.

Непосредственно у стенки расположена по-



**Рис. 8.** Функция  $D(v_+, \text{Pr})$  по результатам обработки экспериментальных данных [11]

добрасти  $I$ , в которой  $Y = O(1)$ . Здесь турбулентным касательным напряжением в уравнении (18) можно пренебречь, и решение в главном члене такое же, как для чисто ламинарного течения:

$$\begin{aligned} w &= \frac{2}{v_+} e^{Y/2} + O(v_+^{-4}), \\ \ln(1 + v_+ \theta_+) &= \Pr Y + O(v_+^{-3}). \end{aligned} \quad (27)$$

В лежащей выше подобласти  $II$  решение будем искать в виде

$$\begin{aligned} Y &= M + Y_2, \quad w = \frac{W_2(Y_2)}{M} + \dots, \\ Y_2 &= O(1), \quad M \rightarrow \infty. \end{aligned} \quad (28)$$

Подстановка (28) в уравнение (18) и предельный переход при  $M \rightarrow \infty$ ,  $Y_2 = O(1)$  дают

$$\begin{aligned} \left(\frac{dW_2}{dY_2}\right)^2 S(\text{Re}, \infty) + \frac{2}{W_2} \frac{dW_2}{dY_2} &= 1, \\ \text{Re} &= \frac{W_2}{2} \frac{dW_2}{dY_2}. \end{aligned} \quad (29)$$

Таким образом, турбулентная и ламинарная составляющие касательного напряжения здесь одного порядка. Асимптотическое сращивание разложений (27) и (28) позволяет определить начальное условие для уравнения (29) и параметр  $M$ :

$$W_2 \rightarrow 2e^{Y_2/2}, \quad Y_2 \rightarrow -\infty; \quad M e^{M/2} = v_+. \quad (30)$$

Из (29) с учетом начального условия (30) получим решение в параметрическом виде:

$$\begin{aligned} Y_2 &= \ln \text{Re} + \text{Re} S(\text{Re}, \infty) + \int_0^{\text{Re}} S(\text{Re}, \infty) d\text{Re}, \\ W_2 &= 2\sqrt{\text{Re}^2 S(\text{Re}, \infty) + \text{Re}}, \quad 0 < \text{Re} < \infty. \end{aligned} \quad (31)$$

Распределение температуры в подобласти  $II$  запишем в виде

$$\begin{aligned} \ln(1 + v_+ \theta_+) &= \Pr Y^* + \\ &+ \int_{Y^* - M}^{Y_2} \frac{\Pr dY_2}{1 + \Pr \text{Re} T(\text{Re}, \Pr \text{Re}, \infty)} + \dots, \\ Y^* &= O(1). \end{aligned} \quad (32)$$

После замены переменной (31) в интегrale (32) и предельного перехода при  $M \rightarrow \infty$  будем иметь

$$\begin{aligned} \ln(1 + v_+ \theta_+) &= \Pr M + \\ &+ \Pr \int_0^{\text{Re}} \frac{\text{Re} dS(\text{Re}, \infty) + 2S(\text{Re}, \infty) d\text{Re}}{1 + \Pr \text{Re} T(\text{Re}, \Pr \text{Re}, \infty)} + \\ &+ \Pr \int_1^{\text{Re}} \frac{d\text{Re}}{\text{Re} [1 + \Pr \text{Re} T(\text{Re}, \Pr \text{Re}, \infty)]} - \\ &- \Pr^2 \int_0^1 \frac{T(\text{Re}, \Pr \text{Re}, \infty) d\text{Re}}{1 + \Pr \text{Re} T(\text{Re}, \Pr \text{Re}, \infty)} + \dots \end{aligned}$$

Отсюда, устремляя  $\text{Re}$  к  $\infty$ , получим на внешней границе подобласти  $II$

$$\begin{aligned} \ln(1 + v_+ \theta_+) &= 2 \Pr_t^\infty \ln Y_2 + \Pr M + \\ &+ a_2(\Pr) + \dots, \quad Y_2 \rightarrow \infty, \end{aligned} \quad (33)$$

$$\Pr_t^\infty = \Pr_t(\infty, \infty, \infty),$$

$$\begin{aligned} a_2(\Pr) &= \Pr \int_0^\infty \frac{\text{Re} dS(\text{Re}, \infty)}{1 + \Pr \text{Re} T(\text{Re}, \Pr \text{Re}, \infty)} + \\ &+ \Pr \int_1^\infty \frac{d\text{Re}}{\text{Re} [1 + \Pr \text{Re} T(\text{Re}, \Pr \text{Re}, \infty)]} - \\ &- \Pr^2 \int_0^1 \frac{T(\text{Re}, \Pr \text{Re}, \infty) d\text{Re}}{1 + \Pr \text{Re} T(\text{Re}, \Pr \text{Re}, \infty)}. \end{aligned}$$

В подобласти  $III$

$$\begin{aligned} Y &= M + \sqrt{M} Y_3, \quad w = \frac{W_3(Y_3)}{\sqrt{M}} + \dots, \\ \frac{1}{Y_3} &= O(1), \quad Y_3 = O(1). \end{aligned}$$

В уравнении (18) после предельного перехода

$$M \rightarrow \infty, \quad \frac{1}{Y_3} = O(1), \quad Y_3 = O(1)$$

остается только турбулентная составляющая касательного напряжения:

$$\left(\frac{dW_3}{dY_3}\right)^2 S(\infty, \beta) = 1, \quad \beta = \left(\frac{2}{W_3} \frac{dY_3}{dW_3}\right)^2. \quad (34)$$

Решение уравнения (34), удовлетворяющее условию сращивания с решением в подобласти  $II$ , имеет вид

$$Y_3 = \frac{S(\infty, \beta)}{\sqrt{\beta}} + \int_{\beta}^{\infty} \frac{S(\infty, \beta) d\beta}{2\beta^{3/2}}, \quad (35)$$

$$W_3 = 2\sqrt{\frac{S(\infty, \beta)}{\beta}}, \quad 0 < \beta < \infty.$$

В подобласти III к выражению (32) для распределения температуры добавится интеграл

$$I_3 = \int_{Y_2/\sqrt{M}}^{Y_3} \frac{\sqrt{\beta} dY_3}{T(\infty, \infty, \beta)}.$$

Замена переменных (35) в этом интеграле дает

$$I_3 = \int_{\beta^*}^{\beta} \frac{\beta dS(\infty, \beta) - S(\infty, \beta) d\beta}{\beta T(\infty, \infty, \beta)},$$

$$\beta^* = M \left( \frac{2S(\infty, \infty)}{Y_2} \right)^2 + \dots$$

Переходя к пределу при  $M \rightarrow \infty$ , получим

$$I_3 = \Pr_t^\infty [\ln M - 2 \ln Y_2 + 2 \ln (2S(\infty, \infty))] +$$

$$+ \int_{\beta}^1 \frac{\Pr_t(\infty, \infty, \beta) d\beta}{\beta} - \int_{\beta}^{\infty} \frac{dS(\infty, \beta)}{T(\infty, \infty, \beta)} +$$

$$+ \int_1^{\infty} [\Pr_t(\infty, \infty, \beta) - \Pr_t^\infty] \frac{d\beta}{\beta} + \dots$$

Складывая это выражение с асимптотикой (33) и переходя к пределу при  $\beta \rightarrow 0$ , на внешней границе подобласти III будем иметь

$$\ln(1 + v_+ \theta_+) = 2 \Pr_t^0 \ln Y_3 + \Pr M +$$

$$+ \Pr_t^\infty \ln M + a_2(\Pr) + a_3 + \dots, \quad Y_3 \rightarrow \infty, \quad (36)$$

$$a_3 = \int_0^1 [\Pr_t(\infty, \infty, \beta) - \Pr_t^0] \frac{d\beta}{\beta} - \int_0^{\infty} \frac{dS(\infty, \beta)}{T(\infty, \infty, \beta)} +$$

$$+ \int_1^{\infty} [\Pr_t(\infty, \infty, \beta) - \Pr_t^\infty] \frac{d\beta}{\beta} - 2 \Pr_t^0 \ln(2\kappa^2).$$

Во внешней подобласти IV

$$Y = MY_4, \quad w = W_4(Y_4) + \dots,$$

$$1/Y_4 = O(1),$$

$$\left( \frac{dW_4}{d \ln Y_4} \right)^2 S(\infty, 0) = 1. \quad (37)$$

Решение уравнения (37), удовлетворяющее условию сращивания с решением в подобласти III, есть

$$W_4 = \frac{1}{\kappa} \ln Y_4. \quad (38)$$

Сопоставляя (38) с (21), для функции  $C(v_+)$  получим асимптотику

$$C(v_+) = \frac{M}{2} + \dots, \quad v_+ \rightarrow \infty, \quad (39)$$

$$M + 2 \ln M = 2 \ln v_+.$$

Для получения распределения температуры во внешней подобласти IV к асимптотическому представлению (36) следует добавить интеграл

$$I_4 = 2 \Pr_t^0 \int_{1+Y_3/\sqrt{M}}^{Y_4} \frac{dY_4}{Y_4 \ln Y_4}.$$

Это дает выражение

$$\ln(1 + v_+ \theta_+) = 2 \Pr_t^0 \ln \ln Y_4 + \Pr M +$$

$$+ (\Pr_t^\infty + \Pr_t^0) \ln M + a_2(\Pr) + a_3 + \dots,$$

сопоставив которое с (25), получим асимптотическое представление для функции  $D(v_+, \Pr)$ :

$$D(v_+, \Pr) =$$

$$= \exp \left[ -\frac{\Pr M}{2 \Pr_t^0} - \frac{\Pr_t^0 + \Pr_t^\infty}{2 \Pr_t^0} \ln M - \frac{a_2(\Pr) + a_3}{2 \Pr_t^0} \right] -$$

$$- \frac{2\kappa}{M} e^{-M/2} + \dots,$$

$$v_+ \rightarrow \infty.$$

Следовательно, эта функция стремится к нулю при больших значениях параметра  $v_+$ .

На рис. 4 функция  $C_0 - C(v_w^+)$ , построенная по результатам обработки экспериментальных [15] и расчетных [13, 14] профилей скорости, возрастает вплоть до  $v_+ \approx 0.8$ . В то же время, согласно (39),  $C(v_+) \rightarrow \infty$  при  $v_+ \rightarrow \infty$ . Следовательно, функция  $C(v_+)$  немонотонна и зависимость на рис. 4 при некотором значении скорости  $v_+$  должна иметь максимум.

Подобласти I и II образуют вязкий подслой. Обозначим  $d_+$  характерную толщину вязкого подслоя, отнесенную к пристеночному масштабу  $\rho\nu/\tau_w$ . Проведенный анализ показывает, что

$$d_+ = O(\ln v_+ / v_+)$$

при  $v_+ \rightarrow \infty$ . Уменьшение толщины вязкого подслоя и расширение внешней логарифмической области в результате вдува было отмечено при анализе экспериментальных данных, приведенных на рис. 3.

## 7. ЗАКЛЮЧЕНИЕ

Таким образом, постановка задачи, основанная на динамических уравнениях, обычном предположении о независимости течения в пристеночной области от внешних параметров пограничного слоя и требовании непрерывности задающих турбулентное касательное напряжение и поток температуры функций  $S$  и  $T$  без привлечения каких-либо гипотез о конкретных механизмах турбулентного обмена, позволяет получить правила подобия для распределения скорости, температуры и компонент тензора Рейнольдса и дать асимптотические представления входящих в эти соотношения универсальных функций  $C(v_+)$  и  $D(v_+, \text{Pr})$ .

Пристеночная область турбулентного пограничного слоя со вдувом и отсосом состоит из двух характерных подобластей: расположенного непосредственно у стенки вязкого подслоя, в котором турбулентные и вязкие напряжения одного порядка, и внешней подобласти, где молекулярной вязкостью можно пренебречь. Во внешней подобласти скорость, температура, касательное напряжение и среднеквадратичная поперечная пульсация скорости в переменных подобия имеют одно логарифмическое распределение, которое зависит только от безразмерной поперечной скорости на стенке  $v_+$ .

При увеличении скорости вдува  $v_+$  толщина вязкого подслоя, измеренная в единицах пристенного масштаба, падает и при  $v_+ \rightarrow \infty$  стремится к нулю как  $O(\ln v_+/v_+)$ , а область применимости законов подобия начинается непосредственно у стенки.

Автор благодарен У. Кэйсу и Р. Моффату (Стэнфордский университет) за любезно предоставленные экспериментальные данные.

Работа выполнена в рамках Государственной программы поддержки ведущих научных школ (проект НШ-1635.2003.1).

## ЛИТЕРАТУРА

1. А. А. Изаксон, ЖЭТФ 7, 919 (1937).

2. С. В. Millikan, in *Proc. 5th Intern. Congr. Appl. Mech.*, Wiley, New York (1939), p. 386.
3. R. von Mises, in *Th. von Kármán Anniversary Volume*, Calif. Inst. Techn. Press. Pasadena (1941), p. 317.
4. Л. Д. Ландау, Е. М. Лифшиц, *Гидродинамика*, Изд. 3-е, Наука, Москва (1986).
5. T. N. Stevenson, CoA Rept. Aero. № 166 (1963).
6. T. N. Stevenson, AIAA J. 6, 553 (1968).
7. A. E Perry, S. Henbest, and M. S. Chong, J. Fluid Mech. 165, 163 (1986).
8. H. H. Fernholz and P. J. Finley, Prog. Aerospace Sci. 32, 245 (1996).
9. J. F. Morrison, W. Jiang, B. J. McKeon et al., in *Turbulence and Shear Flow Phenomena. Second Int. Symp.*, ed. by E. Lindborg et al., KTH, Stockholm (2001), Vol. 1, p. 43.
10. Б. А. Кадер, А. М. Яглом, *Итоги науки и техн. Сер. Механика жидкости и газа*, ВИНИТИ, Москва (1980), т. 18, с. 81.
11. D. G. Whitten, W. M. Kays, and R. J. Moffat, Rep. HMT-3, Stanford Univ. (1967).
12. P. S. Klebanoff, *NACA Rep. 1247* (1954).
13. Y. Sumitani and N. Kasagi, AIAA J. 33, 1220 (1995).
14. Н. В. Никитин, А. А. Павельев, Изв. Академии наук. МЖГ № 6, 18 (1998).
15. P. S. Andersen, W. M. Kays, and R. J. Moffat, Rep. HMT-15, Stanford Univ. (1972).
16. P. S. Andersen, W. M. Kays, and R. J. Moffat, J. Fluid Mech. 69 353, (1975).
17. P. Mariani, P. Spalart, W. Kollmann, in *Proc. Int. Conf. Near-Wall Turbulent Flows*, ed. by R. M. C. So et al., Elsevier, Amsterdam (1993).
18. R. A. Antonia, P. R. Spalart, and P. Mariani, Phys. Fluids 6, 430 (1994).
19. И. И. Вигдорович, ДАН 337, 39 (1994).
20. И. И. Вигдорович, ДАН 356, 42 (1997).
21. R. L. Simpson, R. J. Moffat, and D. G. Whitten, Int. J. Heat and Mass Transf. 13, 125 (1970).
22. М. Ван-Дайк, *Методы возмущений в механике жидкости*, Мир, Москва (1967).